

01;06;07

©1993 г.

## МОДЕЛИРОВАНИЕ НА ЭВМ ДИСЛОКАЦИОННЫХ ЭЛЕКТРОННЫХ СОСТОЯНИЙ И ПОЛЯРИЗАЦИОННЫЕ ОСОБЕННОСТИ ДИСЛОКАЦИОННЫХ ОПТИЧЕСКИХ СПЕКТРОВ В ПРЯМОЗОННЫХ ПОЛУПРОВОДНИКАХ

*М.А.Разумова, В.Н.Хотяинцев*

В рамках приближения деформационного потенциала осуществлено численное моделирование одночастичных, локализованных на краевой дислокации состояний в кубическом прямозонном полупроводнике и на его основе дано объяснение экспериментально наблюдаемой поляризации дислокационного поглощения (ДП) и люминесценции (ДЛ) вдоль вектора Бюргера.

Показано, что сильная анизотропия эффективных масс может приводить к поляризации ДП и ДЛ либо вдоль линии дислокации (при  $m_{\parallel} < m_{\perp}$ ), либо в плоскости, перпендикулярной к ней (при  $m_{\parallel} > m_{\perp}$ ). Но основным фактором, определяющим поляризацию ДП и соответствующей ДЛ при реальных значениях параметров, является отличие констант деформационного потенциала  $D_1$  и  $D_2$ , соответствующих продольному и поперечному сжатию (для данной подзоны). Экспериментально наблюдаемой поляризации вдоль  $b$  соответствует соотношение  $|D_1| > |D_2|$ , которое действительно выполняется для всех материалов, в которых исследовалось ДП. При  $|D_2| > |D_1|$  ДП должно быть поляризовано перпендикулярно  $b$ .

### Введение

Экспериментальные исследования края собственного поглощения в полупроводниках показывают, что при введении дислокаций в запрещенной зоне появляется поглощение, величина которого возрастает с увеличением плотности дислокаций  $\sigma$ . Это дополнительное поглощение будем называть дислокационным поглощением (ДП). Длинноволновая граница ДП, не связанного с глубокими дислокационными состояниями оборванных связей, отстоит на 0.2–0.3 эВ от края фундаментального поглощения [1–6]. При наличии в образце избытка дислокаций с определенной ориентацией вектора Бюргера  $b$  обнаруживается характерная особенность: для различных типов дислокаций и в различных материалах [1–6] ДП и соответствующая дислокационная люминесценция (ДЛ) поляризованы преимущественно вдоль  $b$ . Поляризация ДП наиболее сильно выражена для переходов с минимальной энергией и ослабевает по мере приближения к неполяризованному краю фундаментального поглощения [6]. Поля-

ризация ДП не получила еще последовательного объяснения, хотя шаги в этом направлении предпринимались.

В настоящей работе предложена модель, объясняющая поляризацию ДП, обусловленного электрически неактивными краевыми дислокациями.

### Основные положения модели и постановка задачи

Рассмотрим для простоты кубический прямозонный полупроводник (в определенной степени кубическое приближение применимо и для гексагональных кристаллов [7]). В наиболее актуальной длинноволновой части спектра ДП коэффициент поглощения пропорционален  $\sigma$ , поэтому ограничимся изучением поглощения в поле отдельной дислокации, которую будем считать краевой, идеальной, прямолинейной и бесконечной.

Как показывает эксперимент [1-6], глубина дислокационных уровней (0.2-0.3 эВ) невелика по сравнению с шириной запрещенной зоны. Поэтому воспользуемся однозонным приближением, в рамках которого спектр дислокационных электронных состояний вблизи зоны проводимости ( $Dc$ -состояния) и спектр дислокационных дырочных состояний вблизи валентной зоны ( $Dv$ -состояния) формируются независимо.

Выбираем простейшую, но отражающую необходимые принципиальные моменты модель. Прежде всего учитываем трехкратное вырождение максимума валентной зоны в отсутствие деформаций в кристалле. Спин-орбитальным расщеплением, которое, как правило, мало по сравнению с глубиной нижайших дислокационных уровней, пренебрегаем. Анизотропное поле дислокации снимает это вырождение, в результате образуются три серии дислокационных одномерных зон  $Dv$ -состояний, переходы из которых в  $Dc$ -состояния и зону проводимости (невыврожденную) соответствуют трем различным поляризациям ДП. Серия дырочных дислокационных зон, которая оказывается наиболее глубокой, и будет определять поляризацию длинноволновой части спектра ДП.

Влияние поля деформаций будем рассматривать в рамках метода деформационного потенциала [7], а движение частиц в приближении эффективной массы. Для простой изотропной зоны проводимости деформационный потенциал дислокаций сводится к скаляру. Связанные дислокационные состояния для этого случая анализировались нами в работе [8]. Было получено, что размерная энергия поперечного движения носителей заряда пропорциональна эффективной массе. А так как для ряда кристаллов, исследованных экспериментально,  $m_c \ll m_v$ , то  $Dc$ -состояния намного мельче по сравнению с  $Dv$ -состояниями. При обратном соотношении поляризационные особенности проявлялись бы слабо.

Используемой модели валентной зоны в кубическом кристалле соответствует гамильтониан [7]

$$\hat{H} = \begin{pmatrix} L\partial_x^2 + M(\partial_y^2 + \partial_z^2) & N\partial_x\partial_y & N\partial_x\partial_z \\ N\partial_x\partial_y & L\partial_y^2 + M(\partial_x^2 + \partial_z^2) & N\partial_y\partial_z \\ N\partial_x\partial_z & N\partial_y\partial_z & L\partial_z^2 + M(\partial_x^2 + \partial_y^2) \end{pmatrix} +$$

$$+ \begin{pmatrix} D_1 u_{xx} + D_2(u_{yy} + u_{zz}) & D_3 u_{xy} & D_3 u_{xz} \\ D_3 u_{xy} & D_1 u_{yy} + D_2(u_{xx} + u_{zz}) & D_3 u_{yz} \\ D_3 u_{xz} & D_3 u_{yz} & D_1 u_{zz} + D_2(u_{yy} + u_{xx}) \end{pmatrix}, \quad (1)$$

где  $\partial_x = \partial/\partial x$ ,  $\partial_y = \partial/\partial y$ ;  $L$ ,  $M$ ,  $N$  — независимые константы, описывающие закон дисперсии;  $D_1$ ,  $D_2$ ,  $D_3$  — независимые константы деформационного потенциала;  $u_{ij}$  — компоненты тензора деформаций дислокации, для которых мы воспользуемся известными выражениями в приближении изотропной упругой среды [9].

Валентная зона в идеальном кристалле представляет собой совокупность трех подзон, вырожденных в точке  $r$ , которые являются связанными за счет недиагональных членов гамильтониана. В силу особенностей конфигурации деформационного поля краевой дислокации роль недиагональных членов не является определяющей и на первоначальном этапе объяснения эффекта поляризации ДП взаимодействием подзон можно пренебречь, положив  $N = 0$ ,  $D_3 = 0$ .

Функции Ванье каждой из подзон по отношению к преобразованиям симметрии кубического кристалла ведут себя аналогично функциям атомного  $p$ -электрона типа  $x$ ,  $y$ ,  $z$ . Поэтому сами подзоны будем обозначать индексами  $x$ ,  $y$ ,  $z$ .

В идеальном кристалле изоэнергетические поверхности для отдельных подзон представляют собой одинаковые эллипсоиды с осями вращения, направленными вдоль  $x$ ,  $y$ ,  $z$ . Направления  $x$ ,  $y$ ,  $z$  равноправны, но для отдельной подзоны направление соответствующей кубической оси является выделенным, т.е. каждая зона в отдельности анизотропна. Проявляется это в том, что при  $L \neq M$  эффективные массы для движения вдоль и поперек оси различны  $m_{\parallel} \neq m_{\perp}$  ( $L = \hbar^2/2m_{\parallel}$ ,  $M = \hbar^2/2m_{\perp}$ ). Кроме того, при  $D_1 \neq D_2$  различным является энергетический сдвиг, обусловленный сжатием кристалла вдоль и поперек оси. Направление оси также является направлением дипольного момента перехода из данной  $v$ -подзоны в изотропную зону проводимости.

Различное сочетание анизотропии подзон с анизотропией деформационного поля дислокации обуславливает неэквивалентность  $Dv$ -состояний, связанных с различными подзонами, и, как следствие, определенную поляризацию ДП. Задача состоит в том, чтобы установить, какой из двух факторов анизотропии является определяющим: анизотропия тензора эффективной массы  $m_{\parallel} \neq m_{\perp}$  или анизотропия констант деформационного потенциала  $D_1 \neq D_2$ , и объяснить, почему из трех взаимно перпендикулярных направлений, характеризующих краевую дислокацию ( $b$ , нормаль к плоскости скольжения и направление дислокационной линии), в поляризации ДП выделенным является именно направление  $b$ . Чтобы установить доминирующий фактор анизотропии, их влияние будем исследовать по отдельности.

Дислокации по отношению к базису  $x$ ,  $y$ ,  $z$  могут быть ориентированы по-разному. Эксперимент показал, что ориентация дислокации в кристалле не имеет принципиального значения, ДП остается поляризованным вдоль  $b$ . Мы рассмотрим случай, когда влияние анизотропии эффективной массы наиболее сильное, а именно когда оси дислокации совпадают с кубическими осями. Пусть  $Oz$  есть линия дислокации, а вектор  $b$  параллелен  $Oy$ .

Можно ожидать, что большое отличие продольной и поперечной эффективных масс (в 5–10 раз) должно заметно повлиять на спектр  $Dv$ -состояний. Проанализируем роль этого фактора в предположении, что  $D_1 = D_2 = D$ .

В результате масштабного преобразования ( $x' = \sqrt{m_{\perp}/2\mu}x$ ,  $y' = \sqrt{m_{\parallel}/2\mu}y$  для  $Y$ -состояний и  $x' = \sqrt{m_{\parallel}/2\mu}x$ ,  $y' = \sqrt{m_{\perp}/2\mu}y$  для  $X$ -состояний,  $\mu$  — приведенная масса) уравнения для стационарных состояний в безразмерных единицах приобретают вид

$$\left\{ \frac{\partial^2}{\partial r^2} + \frac{1}{r} \frac{\partial}{\partial r} + \frac{1}{r^2} \frac{\partial^2}{\partial \varphi^2} + \frac{\cos \varphi}{r} \frac{\sqrt{1 + \delta^\beta}}{1 + \delta^\beta \cos 2\varphi} \right\} \psi_n^\beta = \varepsilon_n^\beta \Psi_n^\beta / 2, \quad (2)$$

где  $\beta = x, y, z$  — индекс подзоны обозначает принадлежность к серии определенного типа,  $\delta^\beta$  — параметр анизотропии эффективной массы,

$$\delta^y = -\delta^x = (m_{\parallel} - m_{\perp}) / (m_{\parallel} + m_{\perp}), \quad \delta^z = 0, \quad (3)$$

$\varepsilon_n^\beta$  — безразмерная глубина уровня.

Каждая серия уровней образуется из одной подзоны, энергетический спектр локализованных по поперечному движению состояний представляет собой одномерные зоны вида

$$E_n^\beta = -\varepsilon_n^\beta 2\mu(\alpha b D)^2 / \hbar^2 + \hbar^2 k^2 / 2m_{\perp}, \quad \beta = x, y, \quad (4)$$

$$E_n^z = -\varepsilon_n^z m_{\perp}(\alpha b D)^2 / \hbar^2 + \hbar^2 k^2 / 2m_{\parallel}, \quad (5)$$

где  $\alpha = (1 - 2\nu_p) / 2\pi(1 - \nu_p)$ ,  $\nu_p$  — коэффициент Пуассона.

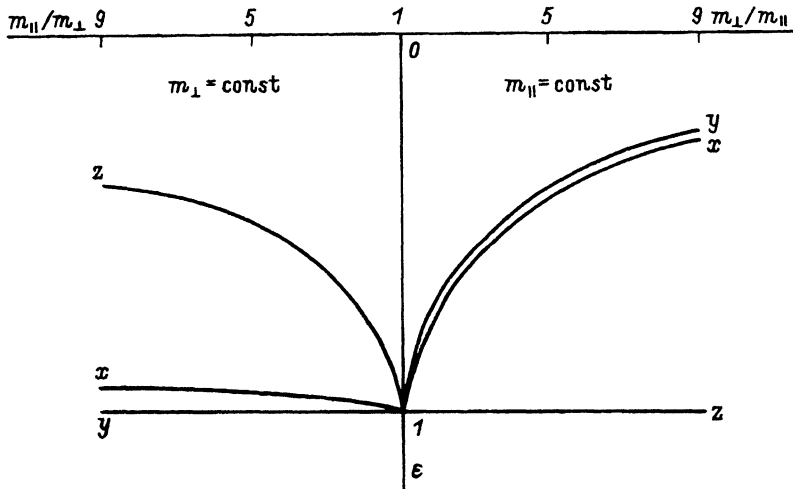


Рис. 1. Зависимость энергетических глубин нижайших одномерных зон из каждой серии  $Dv$ -состояний при  $k_{\parallel} = 0$  от анизотропии эффективных масс (энергии нормированы на глубину нижайшего уровня).

Численный счет, число учитываемых угловых гармоник  $N = 8$ .

В случае  $Z$ -состояний эффективная масса для поперечного движения является изотропной и можно воспользоваться результатами работы [8]

$$\varepsilon_1^{zs} = 0.268, \quad \varepsilon_2^{zs} = 0.0825, \quad \varepsilon_3^{zs} = 0.040, \quad \varepsilon_1^{za} = 0.047, \quad \varepsilon_2^{za} = 0.011, \quad (6)$$

где индексы  $s$  и  $a$  обозначают симметрию по  $\varphi$ .

В случае  $X$ - и  $Y$ -состояний уравнение (2) решается численно. При этом различаются два случая: а)  $m_{\parallel} > m_{\perp}$ , б)  $m_{\parallel} < m_{\perp}$ . Результаты численного счета представлены на рис. 1 для нормированных единиц, которые можно перевести в абсолютные, используя известные абсолютные значения энергии для  $Z$ -состояний (5), (6).

### Учет анизотропии констант деформационного потенциала

Будем теперь эффективную массу считать изотропной ( $m_{\perp} = m_{\parallel} = m$ ) и проанализируем эффекты, обусловленные неравенством констант деформационного потенциала  $D_1 \neq D_2$ , т.е. тем, что анизотропная деформация по-разному влияет на подзоны  $x, y, z$ .

Задача сводится к решению скалярных уравнений для каждой из подзон в безразмерном виде

$$\left\{ \frac{\partial^2}{\partial r^2} + \frac{1}{r} \frac{\partial}{\partial r} + \frac{1}{r^2} \frac{\partial^2}{\partial \varphi^2} + \frac{\cos \varphi}{r} - \frac{\Delta^{\beta}}{2 + \Delta^{\beta}} \frac{\cos 3\varphi}{r} \right\} \psi_n^{\beta} = \varepsilon_n^{\beta} \Psi_n^{\beta} / 2, \quad (7)$$

где  $\beta = x, y, z$ ;  $\Delta$  — параметр анизотропии

$$\Delta^y = -\Delta^x = \Delta = (D_1 - D_2) / (D_1 + D_2)(1 - 2\nu_p), \quad \Delta^z = 0. \quad (8)$$

Энергетический спектр носителей записывается через безразмерные энергии  $\varepsilon_n^{\beta}$  следующим образом:

$$E_n^x = -\varepsilon_n^x \frac{m}{\hbar^2} (\alpha b (1 - \Delta/2)(D_1 + D_2)/2)^2 + \hbar^2 k_z^2 / 2m, \quad (9)$$

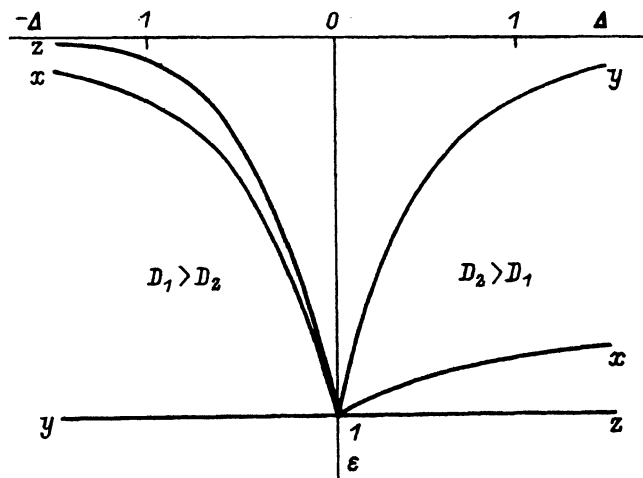


Рис. 2. Зависимость энергетических глубин нижайших одномерных зон из каждой серии  $D\nu$ -состояний при  $k_{\parallel} = 0$  от анизотропии констант деформационного потенциала (энергии нормированы на глубину нижайшего уровня).

Численный счет, число учитываемых угловых гармоник  $N = 8$ .

$$E_n^y = -\varepsilon_n^y \frac{m}{\hbar^2} (\alpha b(1 + \Delta/2)(D_1 + D_2)/2)^2 + \hbar^2 k_z^2/2m, \quad (10)$$

$$E_n^z = -\varepsilon_n^z \frac{m}{\hbar^2} (\alpha b D_2)^2 + \hbar^2 k_z^2/2m, \quad (11)$$

где значения  $\varepsilon_n^z$  те же, что в (6), а  $\varepsilon_n^x, \varepsilon_n^y$  находились численно.

Результаты расчетов представлены на рис. 2.

### Анализ результатов

В пренебрежении недиагональными членами  $\hat{H}$  (1) из каждой  $v$ -подзоны образуется своя серия  $Dv$ -состояний. Кроме того, в каждой серии разделяются два класса состояний: симметричные ( $s$ ) и антисимметричные ( $a$ ) относительно отражения в плоскости  $\varphi = 0$ . Это является следствием четности по  $\varphi$  диагональных членов оператора потенциальной энергии в (1). В работе [8] для случая простой изотропной зоны получено, что глубины нижайших уровней симметричных и антисимметричных  $Ds$ -состояний отличаются примерно в 6 раз, а глубины нижайшего и первого возбужденного симметричного — примерно втрое. Подобная ситуация должна иметь место и в нашем случае. По этой причине достаточно проанализировать только нижайшие  $s$ -состояния каждой  $Dv$ -серии. Так как функции нижайших состояний являются четными по  $\varphi$ , то исконую функцию раскладываем по системе угловых функций  $\{\cos m\varphi\}$ , причем учитываем конечное число гармоник  $m = (0, N - 1)$ , и задача сводится к системе  $2N$  обыкновенных дифференциальных уравнений первого порядка с особыми точками в нуле и на бесконечности. Для отыскания собственных значений применяем метод переноса граничных условий [10].

Как видно из рис. 1, анизотропия эффективной массы ( $m_{\parallel} \neq m_{\perp}$ ) приводит к расщеплению  $Dv$ -состояний различных подзон. Наиболее глубокими при  $m_{\parallel} < m_{\perp}$  являются  $z$ -состояния, поэтому в поляризации ДП выделенным должно быть направление линии дислокации. При  $m_{\parallel} > m_{\perp}$  наиболее глубокими являются  $Y$ -состояния, однако расщепление между  $Y$ - и  $X$ -состояниями малое, а  $Z$ -состояния являются более мелкими. При сильной анизотропии ( $m_{\parallel}/m_{\perp} = 9$ ) глубины нижайших  $Y$ - и  $Z$ -состояний отличаются в 2.5 раза. Следовательно, длинноволновое крыло ДП должно быть поляризовано в плоскости перпендикулярной дислокационной линии со слабым преимуществом направления  $b$ .

Исследования влияния анизотропии констант деформационного потенциала показывают (рис. 2), что наиболее глубокими являются либо  $X$ -, либо  $Y$ -состояния в зависимости от знака параметра анизотропии  $(D_1 - D_2)/(D_1 + D_2)$ . При  $|D_1| < |D_2|$  — это  $X$ -состояния, при  $|D_1| > |D_2|$  —  $Y$ -состояния. Следовательно, при  $|D_1| < |D_2|$  ДП должно быть поляризовано вдоль нормали к плоскости скольжения, а в случае  $|D_1| > |D_2|$  ДП должно быть поляризовано вдоль  $b$ . Именно последняя поляризация наблюдается в эксперименте [1-6]. Следует подчеркнуть, что влияние анизотропии констант деформационного потенциала является весьма сильным. Для реальных значений отношения  $D_1/D_2 \sim 1.5-2$  глубины  $Y-Dv$ -состояний и  $X-Dv$ -состояний отличаются в 6-10 раз. Следовательно, именно анизотропия констант деформационного потенциала является главным фактором, определяющим направление поляризации ДП.

Следует отметить, что использование приближения эффективной массы и деформационного потенциала по отношению к  $Dv$ -состояниям находится на пределе применимости, поэтому численные результаты для энергий связи нужно рассматривать как ориентировочные. В то же время эффект отличия глубины  $X$ - и  $Y$ - $Dv$ -состояний, обусловленный неравенством констант  $D_1$  и  $D_2$ , выражен настолько сильно, что его можно считать надежно установленным.

Для кристаллов GaAs, InSb, CdS, CdSe реализуется ситуация  $|D_1| > |D_2|$ ,  $m_{\parallel} > m_{\perp}$ , эффект, обусловленный анизотропией эффективных масс, дополняет эффект, обусловленный анизотропией констант деформационного потенциала: сильнее всего отщепляются  $Y$ -состояния, затем  $X$ -состояния и слабее  $Z$ -состояния. Длинноволновое крыло поглощения должно быть поляризовано вдоль  $b$ . Для материалов, исследованных экспериментально в работах [1-6], соотношение  $|D_1| > |D_2|$  выполняется. Нам неизвестны материалы, для которых выполняется обратное соотношение:  $|D_1| < |D_2|$ . Если такие существуют, то ДП будет поляризовано перпендикулярно  $b$  и линии дислокации. Константы деформационного потенциала определялись по приведенным в обзоре [11] для тетраэдрических полупроводников значениям констант деформационного потенциала  $a, b, d$ , связанных с  $D_1, D_2, D_3$  (или  $l, m, n$  по [7]) соотношениями

$$(D_1 + 2D_2)/3 = a, \quad (D_1 - D_2)/3 = b, \quad D_3/\sqrt{3} = d. \quad (12)$$

Учет недиагональных компонент гамильтониана (1) при  $k_{\parallel} = 0$  приводит к смешиванию  $X$ - и  $Y$ -состояний противоположной симметрии по  $\varphi$ . К самым глубоким  $Y_s - Dv$ -состояниям подмешиваются  $X_a - Dv$ -состояния. Спектр дислокационных дырочных состояний преобразуется, но установленная выше иерархия состояний по глубине уровней сохраняется.

В силу того что в приближении эффективной массы компоненты дипольного момента перехода  $v \rightarrow c$  пропорциональны интегралам перекры-

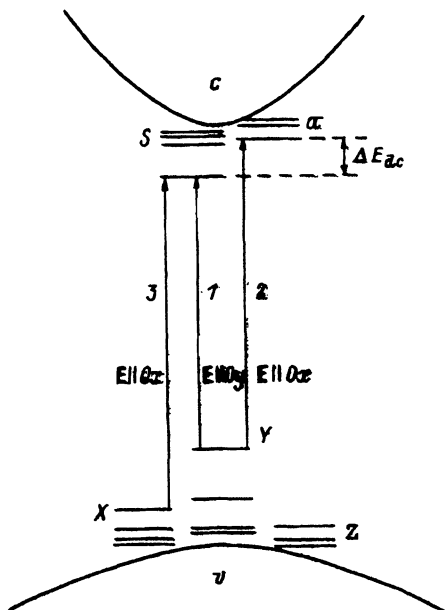


Рис. 3. Схема энергетических уровней и оптических переходов, связанных с краевой дислокацией.

$\Delta E_{dc}$  определяет протяженность длинноволнового участка ДП, где поляризация оптических переходов строго вдоль  $b$ .

тия соответствующих компонент волновых функций  $v$ -состояния и волновой функции  $s$ -состояния, а те и другие в поле дислокации обладают симметрией, то возникают определенные правила отбора: разрешенными являются переходы из симметричного в симметричное и из антисимметричного в антисимметричное состояния.

Представленная на рис. 3 схема оптических переходов позволяет интерпретировать экспериментально наблюдаемую частотную зависимость поляризационного отношения [6]. Поглощению с минимальной энергией фотона будут отвечать переходы из нижайших  $Y_s-Dv$ -состояний в симметричные  $Dc$ -состояния, т.е. переходы, соответствующие  $y$ -поляризации (вдоль  $b$ ). Казалось бы, что прямые разрешенные переходы в  $x$ -поляризации начинаются с частот, соответствующих переходу 3 на рис. 3. На самом деле это происходит раньше и связано с тем, что за счет недиагональных элементов гамильтона (1) к симметричным  $Y$ -состояниям подмешаны  $X_a$ -состояния, которые проявляются, согласно правилам отбора, начиная с перехода 2 на рис. 3. При этом разность глубин уровней нижайших  $Dc_s$ - и  $Dc_a$ -состояний, равная [8]  $\Delta E_{dc} = E_1^{cs} - E_1^{ca} = (0.268 - 0.047)m_c^*(\alpha b D_c)^2 / \hbar^2$ , где  $m_c^*$ ,  $D_c$  — константы, характеризующие зону проводимости, определяет протяженность начального длинноволнового участка спектра ДП, на котором ДП поляризовано строго по  $y$ . Затем степень поляризации начинает убывать. Это является следствием того, что без учета локализации  $Dc$ -состояний переход из симметричного  $Dv$ -состояния в точку  $k = 0$  зоны проводимости в  $y$ -поляризации будет разрешенным, а в  $x$ -поляризации запрещенным.

### Заключение

Проведенный анализ показал, что своим происхождением состояния, ответственные за формирование дислокационного крыла поглощения, могут быть обязаны дальнедействующему полю упругих деформаций. Подтверждением этого является предсказываемая в рамках теории деформационного потенциала и наблюдаемая экспериментально для системы ориентированных дислокаций поляризация дислокационного поглощения и соответствующей дислокационной люминесценции вдоль направления вектора Бюргерса.

### Список литературы

- [1] *Класен В.Н., Осипьян Ю.А.* // ФТТ. 1972. Т. 14. Вып. 12. С. 3694–3696.
- [2] *Баженов А.В., Осипьян Ю.А., Штейнман Э.А.* // ФТТ. 1980. Т. 22. Вып. 2. С. 389–394.
- [3] *Сальков Э.А., Тарбаев Н.И., Шепельский Г.А.* // ФТТ. 1980. Т. 22. Вып. 4. С. 1110–1113.
- [4] *Баженов А.В., Красильникова Л.Л.* // ФТТ. 1984. Т. 26. Вып. 2. С. 590–592.
- [5] *Изотов А.Н., Штейнман Э.А.* // ФТТ. 1986. Т. 28. Вып. 12. С. 1015–1019.
- [6] *Баженов А.В., Красильникова Л.Л.* // ФТТ. 1986. Т. 28. Вып. 1. С. 235–241.
- [7] *Бир Г.Л., Пикус Г.Е.* Симметрия и деформационные эффекты в полупроводниках. М.: Наука, 1972. 584 с.
- [8] *Разумова М.А., Хотяинцев В.Н.* // ФТТ. 1989. Т. 31. Вып. 2. С. 275–277.
- [9] *Хирт Дж., Лоте И.* Теория дислокаций. М.: Атомиздат, 1972.
- [10] *Абрамов А.А., Диткин В.В., Конюхова Н.Б.* // ЖВМиМФ. 1980. Т. 20. Вып. 5. С. 1155–1173.
- [11] *Blacha A., Presting H., Cardona M.* // Phys. Stat. Sol. (b). 1984. Vol. 126. N 1. P. 11–21.